

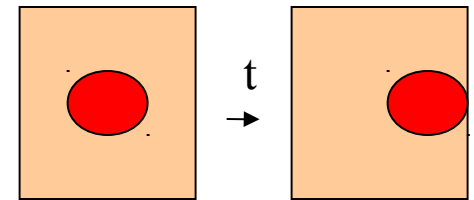
adwekcja rzadko występuje w formie czystej
przeważnie: łącznie z dyfuzją

na razie znamy tylko dyfuzję numeryczną

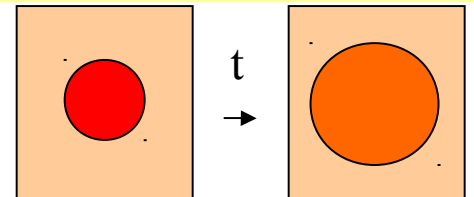
dziś: dyfuzja prawdziwa

Dyfuzja+adwekcja: występuje
w problemach transportu masy i energii

Adwekcja=unoszenie



Dyfuzja=znoszenie gradientu koncentracji

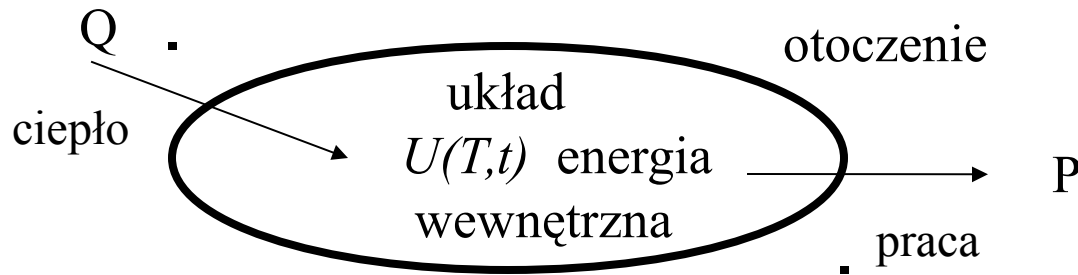


adwekcja-dyfuzja pyłu :



dyfuzja: jeden z mechanizmów transportu ciepła

przekaz ciepła: transfer energii napędzany gradientem temperatur i dążący do jego zniwelowania.



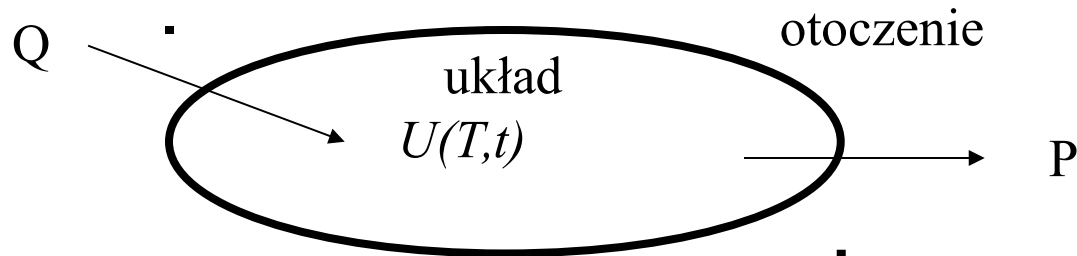
Q = tempo przekazu ciepła J/s

$P = dW/dt$ = tempo pracy wykonywanej przez układ

I-sza zasada termodynamiki: $Q = P + dU/dt$

ciepło dostarczone do układu = praca wykonana przez układ + zmiana energii wewnętrznej układu

$$Q = P + dU/dt$$



$$Q = P + dU/dt$$

$$P = dW/dt$$

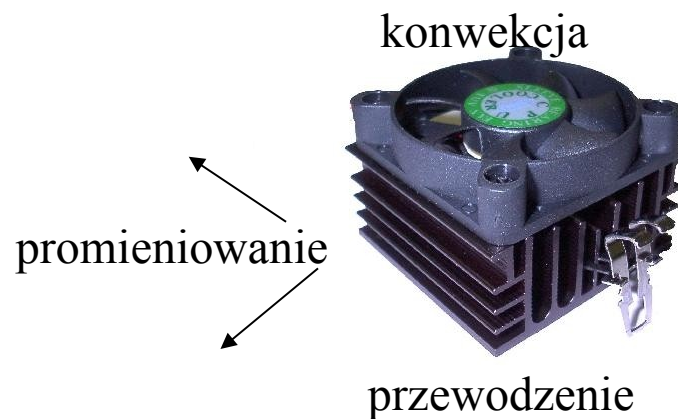
$$dW = p dV$$

$$Q = p dV/dt + dU/dt$$

Dla układu o stałej objętości $dW = 0$

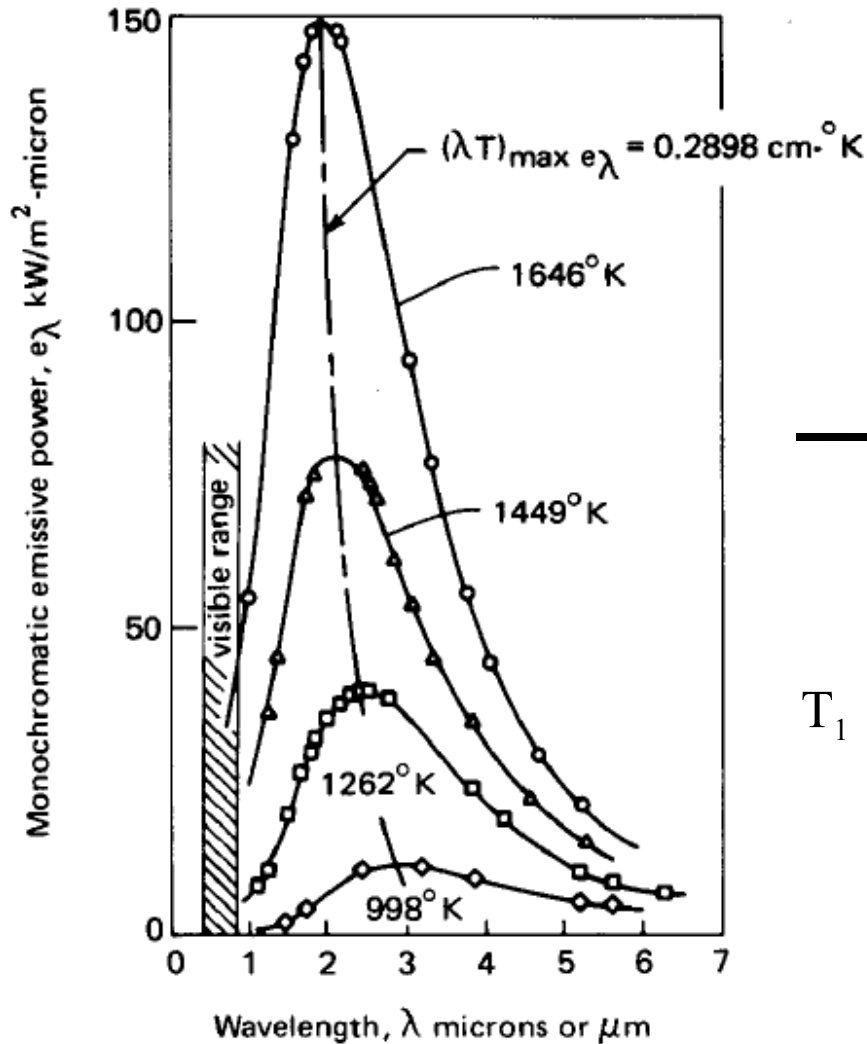
$$Q = dU/dt = mc_v dT/dt \quad (c_v = \text{ciepło właściwe})$$

mechanizmy przekazu ciepła:
przewodzenie (prawo Fouriera)
konwekcja (prawo Newtona)
promieniowanie (p. Stefana-Boltzmann)



1) Promieniowanie

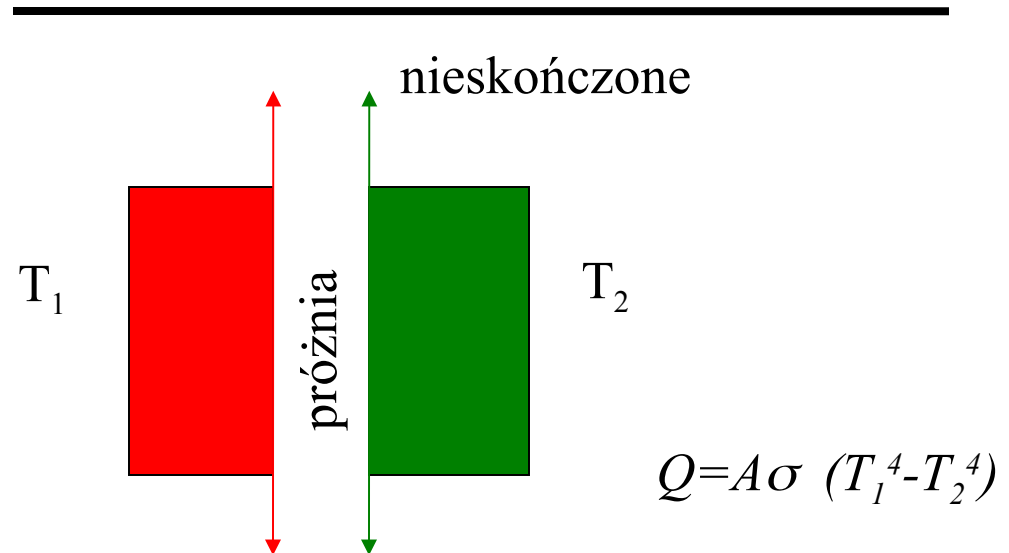
Ciało doskonale czarne (wsp. odbicia 0)



Prawo Wiena: $\lambda_{\text{max}} T = \text{const}$

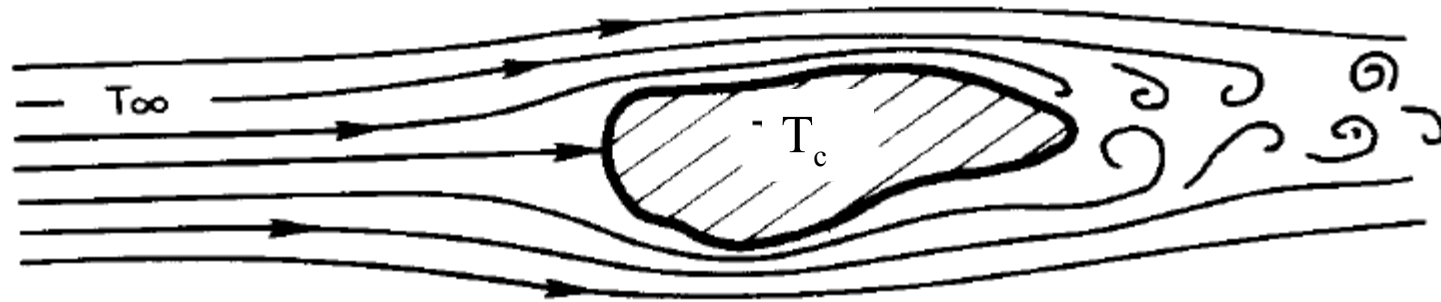
Prawo Stefana: Boltzmana

$$\int e_\lambda(T) d\lambda = \sigma T^4$$



dwa ośrodki potrafią wymieniać energię przez promieniowanie nawet gdy próżnia między nimi

2) Konwekcja (unoszenie ciepła)



Ciepło z ciała do otoczenia: przewodzone do warstwy granicznej, następnie unoszone przez ośrodek zewnętrzny

Prawo chłodzenia Newtona [transfer ciepła proporcjonalny do ΔT]

$$\frac{Q}{A} \equiv q = h(T_c - T_\infty)$$

Strumień ciepła
J/sm²

Współczynnik transferu ciepła. Zazwyczaj $h(\Delta T)$, również funkcja prędkości płynu opływającego ciało

3) przewodzenie (dyfuzja)

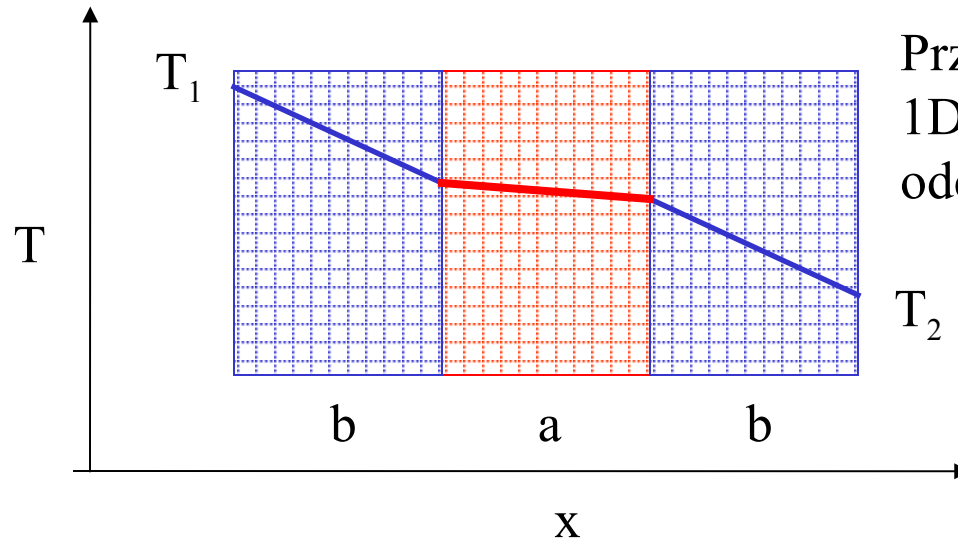
Prawo Fouriera:

$$\mathbf{q} = -k \nabla T$$

Strumień ciepła proporcjonalny i skierowany przeciwnie do gradientu temperatur

W ogólnym przypadku: przewodność cieplna $k = k[\mathbf{r}, T]$.

Stała materiałowa:

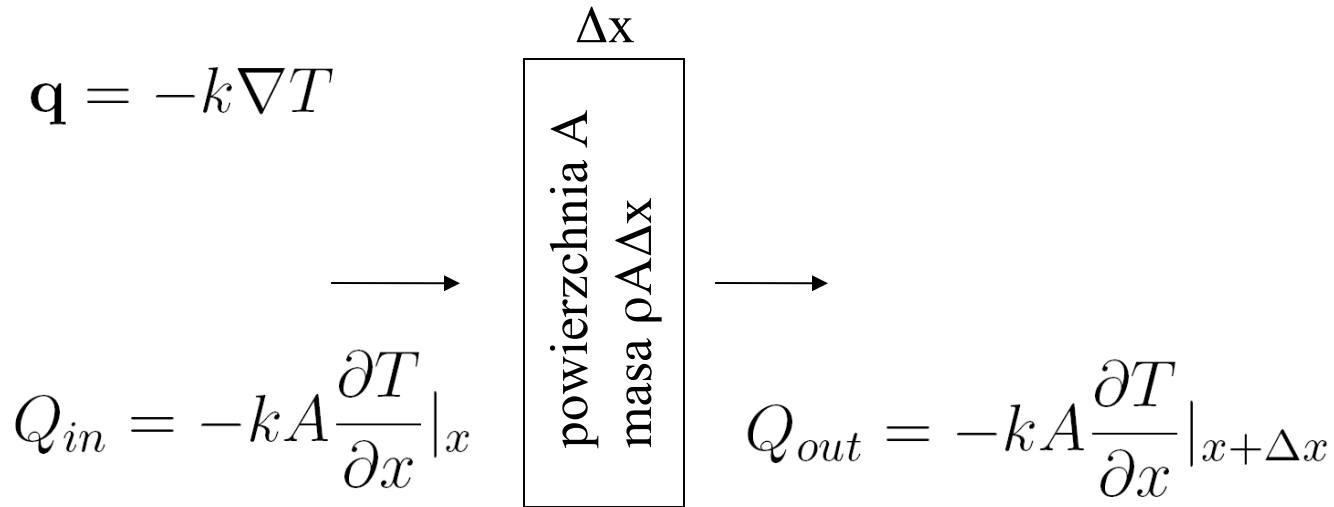


Przypadek stacjonarny ($q = const$)
1D. Temperatura od (x) =
odcinkami liniowa przy braku źródeł.

$$T_2 \quad k_a > k_b$$

Faktycznie dla każdej substancji k zależy od T , my będziemy pracować w powszechnie używanym przybliżeniu $k = \langle k \rangle \neq k(T)$ (punkt pracy)

Równanie przewodnictwa cieplnego 1D, $k=\text{const}$



Wypadkowy strumień ciepła emitowany przez element materiału:

$$Q = Q_{out} - Q_{in} = -kA \frac{\frac{\partial T}{\partial x} \Big|_{x+\Delta x} - \frac{\partial T}{\partial x} \Big|_x}{\Delta x} \Delta x$$

W granicy $\Delta x \rightarrow 0$

$$Q = -kA \frac{\partial^2 T}{\partial x^2} \Delta x = -\frac{dU}{dt}$$

Równanie przewodnictwa cieplnego (dyfuzji ciepła) 1D, $k=\text{const}$

$$Q = -kA \frac{\partial^2 T}{\partial x^2} \Delta x = -\frac{dU}{dt}$$

Układ nie wykonuje pracy, wtedy

$$\frac{dU}{dt} = mc \frac{\partial T}{\partial t} = \rho A \Delta x c \frac{\partial T}{\partial t}$$

$$\frac{1}{\alpha} \frac{\partial T}{\partial t} = \frac{\partial^2 T}{\partial x^2}$$

$$\alpha \equiv \frac{k}{\rho c} [m^2/s]$$

wniosek: równanie dyfuzji ciepła – wynik prawa Fouriera i I-szej zasady termodynamiki

dla dyfuzji materii - inaczej - z równania ciągłości (z równania zachowania materii)

dyfuzja dla materii:

z równania ciągłości:

$$\frac{\partial \rho}{\partial t} + \nabla \cdot \mathbf{j} = 0$$

unoszenie:

$$\mathbf{j} = \rho(\mathbf{r}, t) \mathbf{v}(\mathbf{r})$$



$$\frac{\partial}{\partial t} \rho(\mathbf{r}, t) + \nabla \cdot [\rho(\mathbf{r}, t) \mathbf{v}(\mathbf{r})] = 0$$

równanie adwekcji

$$\mathbf{j} = \rho(\mathbf{r}, t) \mathbf{v}(\mathbf{r}) - k(\mathbf{r}) \nabla \rho(\mathbf{r}, t)$$

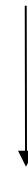


$$\frac{\partial \rho}{\partial t} + \nabla \cdot [\rho(\mathbf{r}, t) \mathbf{v}(\mathbf{r}) - k \nabla \rho(\mathbf{r}, t)] = 0$$

r. adwekcji - dyfuzji

prąd związany z wyrównywaniem
stężeń (prawo Ficka – odpowiednik Fouriera
masa *temperatura*)

$$\mathbf{j} = -k(\mathbf{r}) \nabla \rho(\mathbf{r}, t)$$



$$\frac{\partial \rho}{\partial t} - \nabla \cdot [k \nabla \rho(\mathbf{r}, t)] = 0$$

równanie dyfuzji

Równanie przewodnictwa cieplnego (dyfuzji ciepła) 1D, $k=\text{const}$

$$Q = -kA \frac{\partial^2 T}{\partial x^2} \Delta x = -\frac{dU}{dt}$$

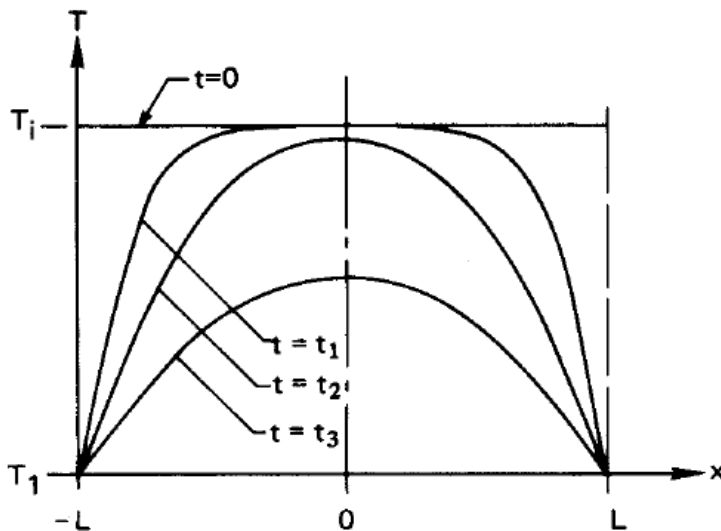
Układ nie wykonuje pracy, wtedy

$$\frac{dU}{dt} = mc \frac{\partial T}{\partial t} = \rho A \Delta x c \frac{\partial T}{\partial t}$$

$$\frac{1}{\alpha} \frac{\partial T}{\partial t} = \frac{\partial^2 T}{\partial x^2}$$

$$\alpha \equiv \frac{k}{\rho c} [m^2/s]$$

Problem chłodzenia w 1D (dla którego Fourier wprowadził swój szereg)



W chwili początkowej
ciało ma temperaturę T_i

$$T(x, t=0) = T_i$$

Następnie umieszczone
w kąpeli o temperaturze T_1

$$T(x=0) = T(x=L) = T_1$$

Jak przebiegnie chłodzenie jako funkcja (x, t) ?

$$\frac{1}{\alpha} \frac{\partial T}{\partial t} = \frac{\partial^2 T}{\partial x^2}$$

$$T(x, t = 0) = 1$$

$$T(0, t) = T(1, t) = 0$$

Metoda separacji zmiennych:

Szukamy szczególnych rozwiązań postaci: $T(x, t) = C(t)X(x)$

$$\frac{1}{\alpha C} \frac{\partial C}{\partial t} = \frac{1}{X} \frac{\partial^2 X}{\partial x^2} = -\lambda$$

Część przestrzenna:

$$X'' = -\lambda X$$

(równanie własne)

$$z X(0) = X(1) = 0$$

$$X_n = \sin(n\pi x)$$

$$\lambda = \lambda_n = (n\pi)^2$$

$$X_n = \sin(n\pi x) \quad \lambda = \lambda_n = (n\pi)^2$$

Część czasowa

$$\frac{1}{\alpha C_n} \frac{\partial C_n}{\partial t} = -(n\pi)^2 \quad (\text{też własne, ale pierwszego rzędu})$$

$$C_n(t) = \exp(-\alpha(n\pi)^2 t)$$

$$T_n(x, t) = C_n(t) X_n(x)$$

Rozwiązanie ogólne:

$$T(x, t) = \sum_n a_n \exp(-\alpha(n\pi)^2 t) \sin(n\pi x)$$

a_n dobrane tak aby spełniony był warunek początkowy

a_n dobrane tak aby spełniony był warunek początkowy

$$T(x, t) = \sum_n a_n \exp(-\alpha(n\pi)^2 t) \sin(n\pi x)$$

$$T(x, t = 0) = \sum_n a_n \sin(n\pi x) \Big| \times \sin(m\pi x) \int_0^1 dx$$

$$\int_0^1 \sin(n\pi x) \sin(m\pi x) dx = \frac{1}{2} \delta_{mn}$$

$$a_n = 2 \int_0^1 T(x, t = 0) \sin(n\pi x) dx$$

Dla $T(x, t=0)=1$:
$$a_n = -\frac{2}{n\pi} \cos(n\pi x) \Big|_{x=0}^{x=1} = -\frac{2}{n\pi} ((-1)^n - 1)$$

$$a_n = \begin{cases} \frac{4}{\pi n} & \text{n nieparzyste} \\ 0 & \text{n parzyste} \end{cases}$$

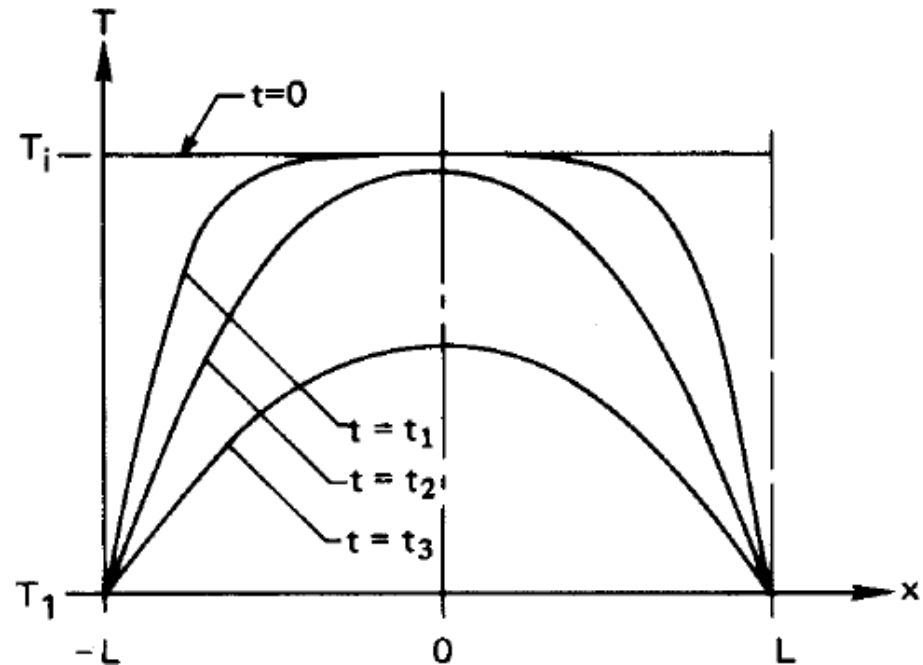
$$T(x, t) = \sum_k \frac{4}{(2k+1)\pi} \exp[-\alpha((2k+1)\pi)^2 t] \sin((2k+1)\pi x)$$

tempo stygnięcia $\longrightarrow \alpha \equiv \frac{k}{\rho c} [m^2/s]$

$$T(x, t) = \sum_n a_n \exp(-\alpha(n\pi)^2 t) \sin(n\pi x)$$

niezależnie od startu
rozkład T po pewnym czasie
będzie miał kształt $\sin(\frac{\pi}{L}x)$

Wszystkie gwałtowne zmiany
przestrzenne zostaną szybko
wygładzone



$$\frac{1}{\alpha} \frac{\partial T}{\partial t} = \frac{\partial^2 T}{\partial x^2} \longrightarrow \frac{\partial u}{\partial t} = D \frac{\partial^2 u}{\partial x^2}$$

zmiana oznaczeń na bardziej typowe dla równania dyfuzji

metoda Eulera:
$$u_j^{n+1} = u_j^n + \frac{D\Delta t}{\Delta x^2} (u_{j+1}^n + u_{j-1}^n - 2u_j^n)$$

[przedni czasowy, centralny przestrzenny]

- 1) dla równania adwekcji schemat z przednim ilorazem czasowym i centralnym ilorazem pierwszej pochodnej był bezwzględnie niestabilny
- 2) pokazaliśmy, że numeryczna dyfuzja stabilizuje schematy jednopoziomowe
- 3) dla równania adwekcji schemat Eulera nie zawierał numerycznej dyfuzji i właśnie dlatego był niestabilny
- 4) teraz dyfuzja jest rzeczywista (nie numeryczna)
podejrzewamy, że schemat ma szansę na bezwzględną stabilność

... sprawdzimy

analiza von Neumana metody Eulera dla równania dyfuzji

$$\frac{\partial u}{\partial t} = D \frac{\partial^2 u}{\partial x^2} \quad \text{metoda Eulera:} \quad u_j^{n+1} = u_j^n + \frac{D\Delta t}{\Delta x^2} (u_{j+1}^n + u_{j-1}^n - 2u_j^n)$$

$$u_j^n = \sum_k A_k^n \exp(ikj\Delta x)$$

$$A_k^{n+1} = A_k^n + \frac{D\Delta t}{\Delta x^2} (\exp(ik\Delta x) + \exp(-ik\Delta x) - 2) A_k^n$$

Współczynnik
wzmocnienia modu k

$$M_k = 1 + \frac{D\Delta t}{\Delta x^2} (\exp(ik\Delta x) + \exp(-ik\Delta x) - 2)$$

$$M_k = 1 + \frac{D\Delta t}{\Delta x^2} (\exp(ik\Delta x) + \exp(-ik\Delta x) - 2)$$

$$M_k = 1 - \frac{2D\Delta t}{\Delta x^2} (1 - \cos(k\Delta x))$$

warunek stabilności $|M_k| \leq 1$

$$-1 \leq 1 - \frac{2D\Delta t}{\Delta x^2} (1 - \cos(k\Delta x)) \leq 1$$

$$-2 \leq -\frac{2D\Delta t}{\Delta x^2} (1 - \cos(k\Delta x)) \leq 0$$

$$0 \leq \frac{2D\Delta t}{\Delta x^2} (1 - \cos(k\Delta x)) \leq 2$$

$$0 \leq (1 - \cos) \leq 2$$

Euler bezwzględnie stabilny jeśli:

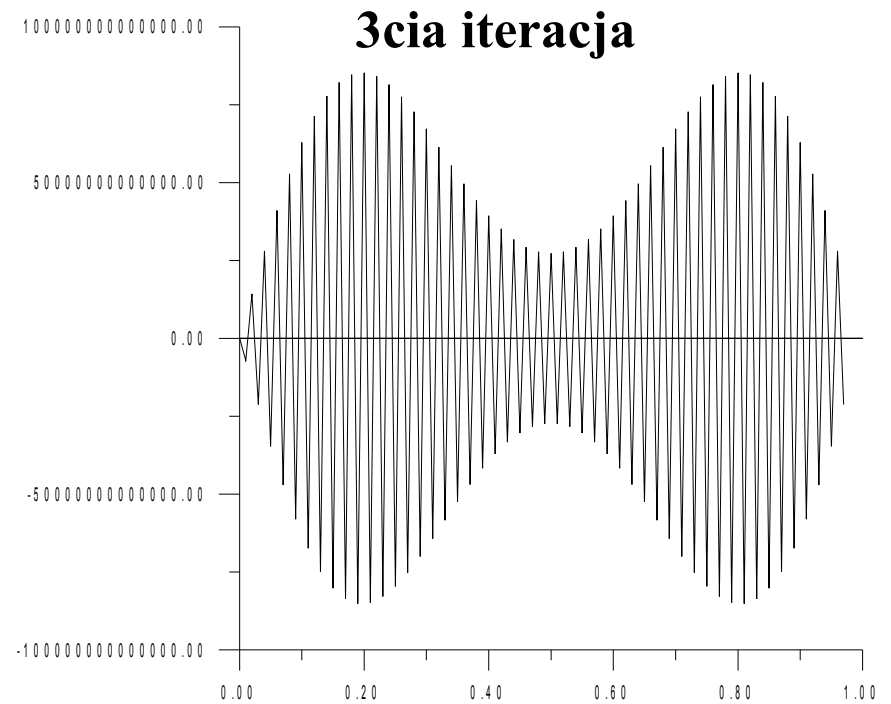
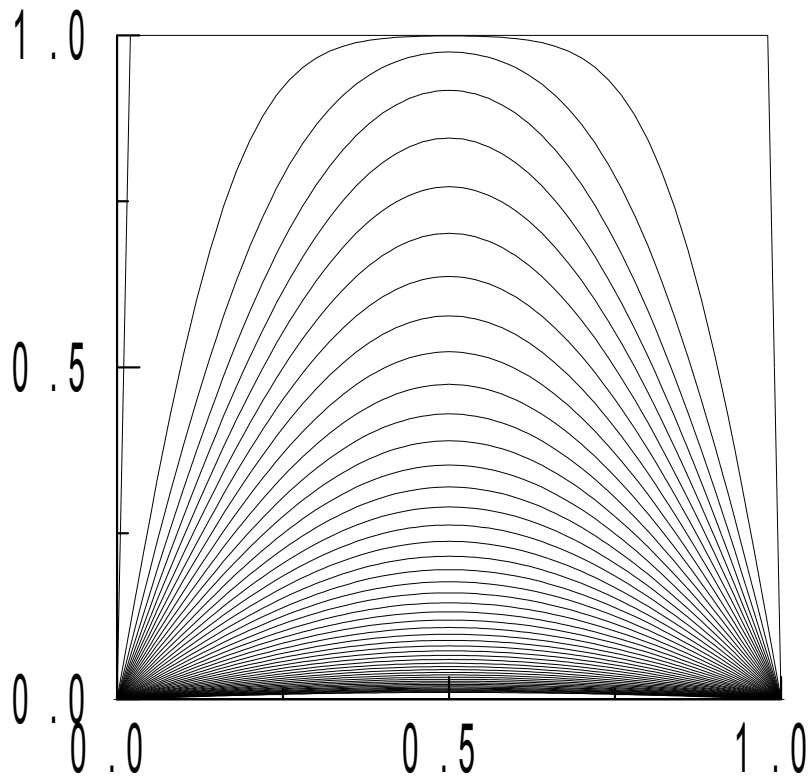
$$\Delta t \leq \frac{\Delta x^2}{2D}$$

Krok czasowy a stabilność schematu Eulera

$$\Delta t \leq \frac{\Delta x^2}{2D} \quad \Delta x=0.01, D=1$$

$$\Delta t=(0.01)^2/2$$

$$\Delta t=(0.01)^2/1.9$$



$$u_j^{n+1} = u_j^n + \frac{D\Delta t}{\Delta x^2} (u_{j+1}^n + u_{j-1}^n - 2u_j^n)$$

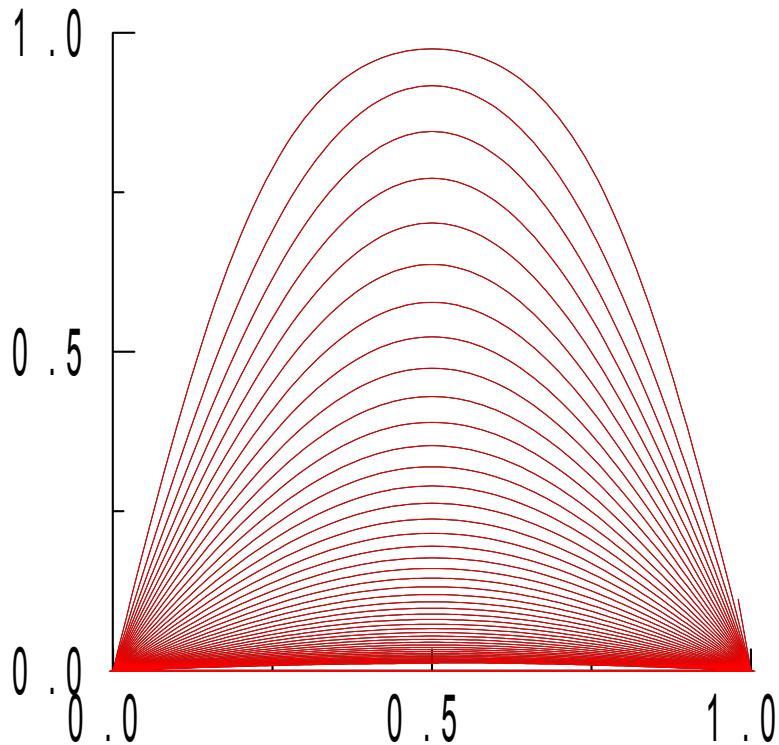
$$\Delta t \leq \frac{\Delta x^2}{2D}$$

Uwaga:

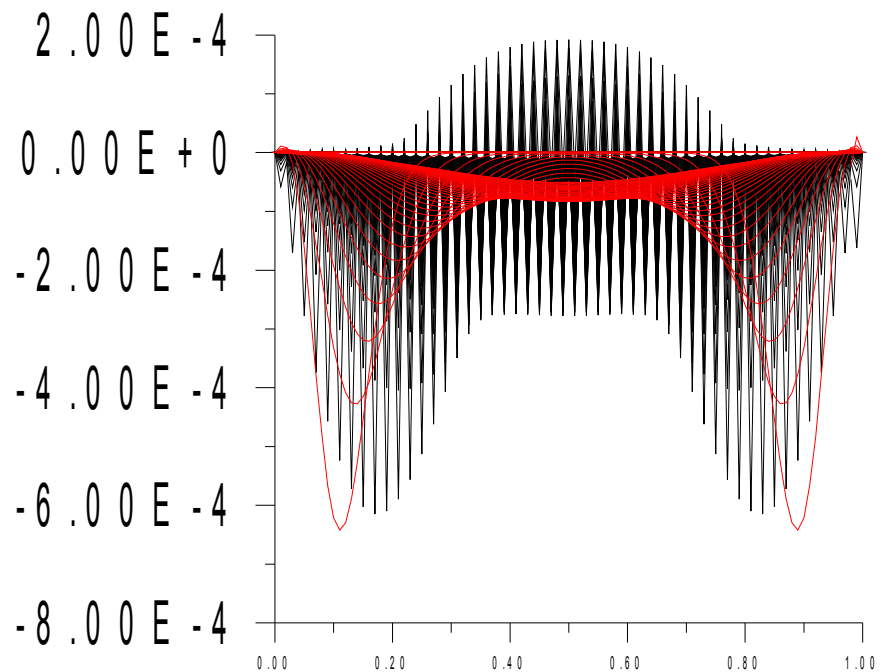
- 1) dla krytycznego kroku czasowego schemat spełnia zasadę maximum (wystarczającą dla stabilności)
- 2) dla granicznego Δt u_j^n znika z prawej strony, a dla większego Δt **zmienia znak z każdą iteracją** (co jest źródłem niestabilności)

Dokładność Eulera dla równania dyfuzji

Metoda Eulera i wynik dokładny dla kroku granicznego:



Czarne: błąd z Δt krytycznym
czerwone = z 10 –krotnie mniejszym



Wniosek: krytyczny Δt jest wystarczająco mały
aby liczyć z większym krokiem \rightarrow schematy niejawne

liczba charakterystyczna dla stabilności schematu:

$$u_j^{n+1} = u_j^n + \frac{D\Delta t}{\Delta x^2} \left(u_{j+1}^n + u_{j-1}^n - 2u_j^n \right)$$

r

$$\Delta t \leq \frac{\Delta x^2}{2D} \longrightarrow 0 \leq r \leq 1/2$$

odpowiednik liczby Couranta $\alpha = \frac{vdt}{dx}$

np.. warunek stabilności schematu *upwind* $0 \leq \alpha \leq 1$ wynikał z kryterium CFL i tw. Laxa

jak wygląda kryterium CFL dla równania dyfuzji??

fizyczna a numeryczna przeszłość punktu w równaniu dyfuzji ?

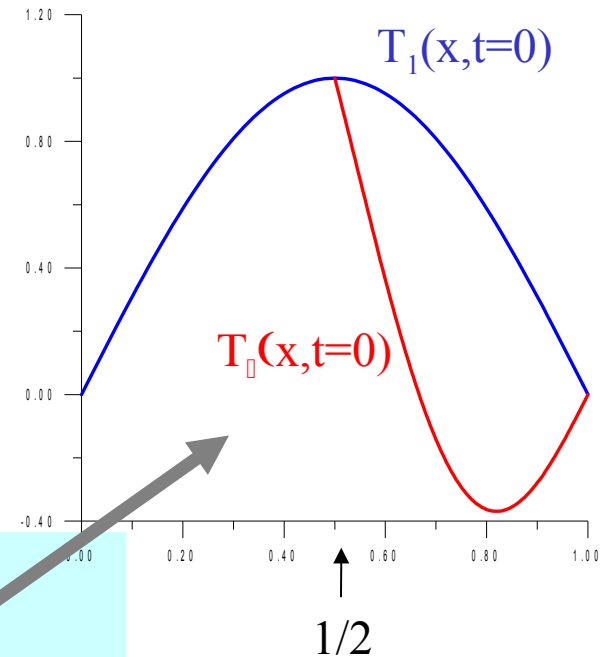
dla równania adwekcji : przeszłość fizyczna $P =$ punkty leżące na charakterystyce

fizyczna domena zależności w równaniu dyfuzji ?

$$\frac{1}{\alpha} \frac{\partial T}{\partial t} = \frac{\partial^2 T}{\partial x^2}$$

$$T(x, t) = \sum_n a_n \exp(-\alpha(n\pi)^2 t) \sin(n\pi x)$$

$$a_n = 2 \int_0^1 T(x, t=0) \sin(n\pi x) dx$$



użyjemy $T(0,t)=T(1,t)=0$

Dla $x=0$: rozważmy dwa warunki początkowe

1) $T_1(x,t=0) = \sin(\pi x)$: rozwiązanie: $T(x,t) = \sin(\pi x) \exp(-\alpha\pi^2 t)$

2) $T_2(x,t=0) = \sin(\pi x)$ dla $x < 1/2$

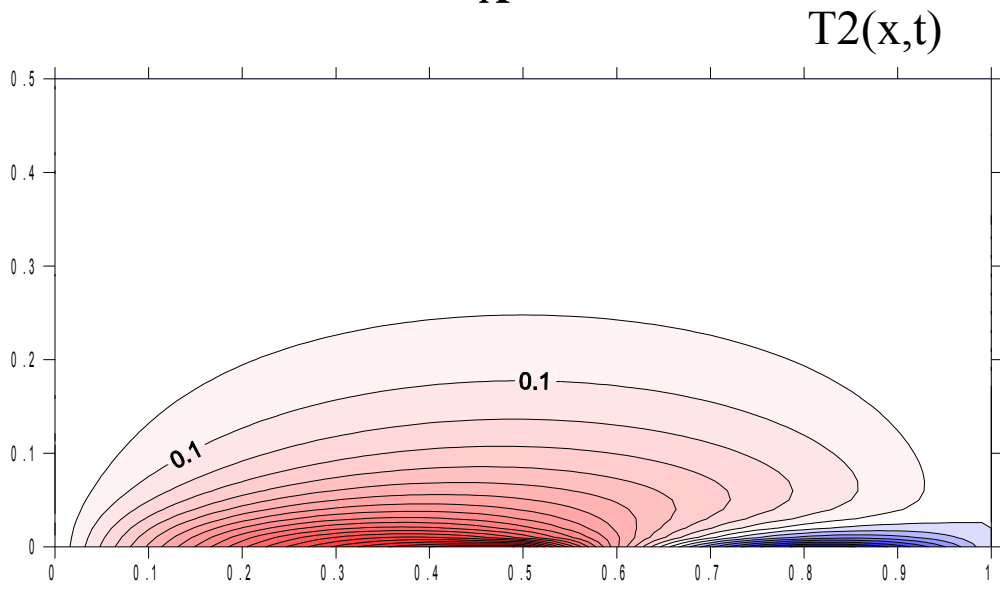
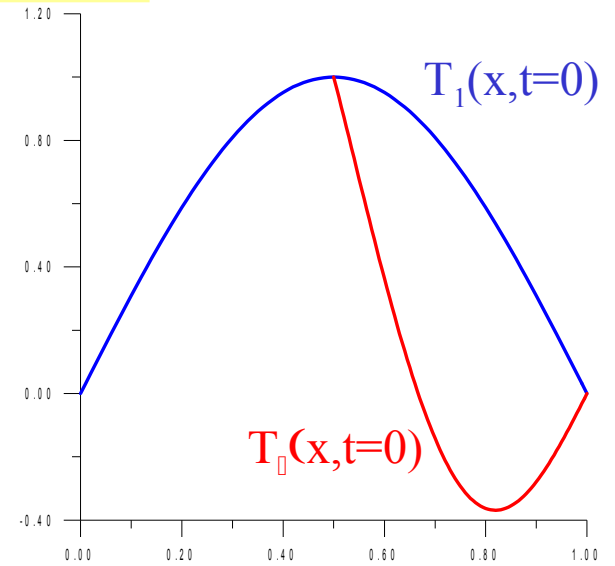
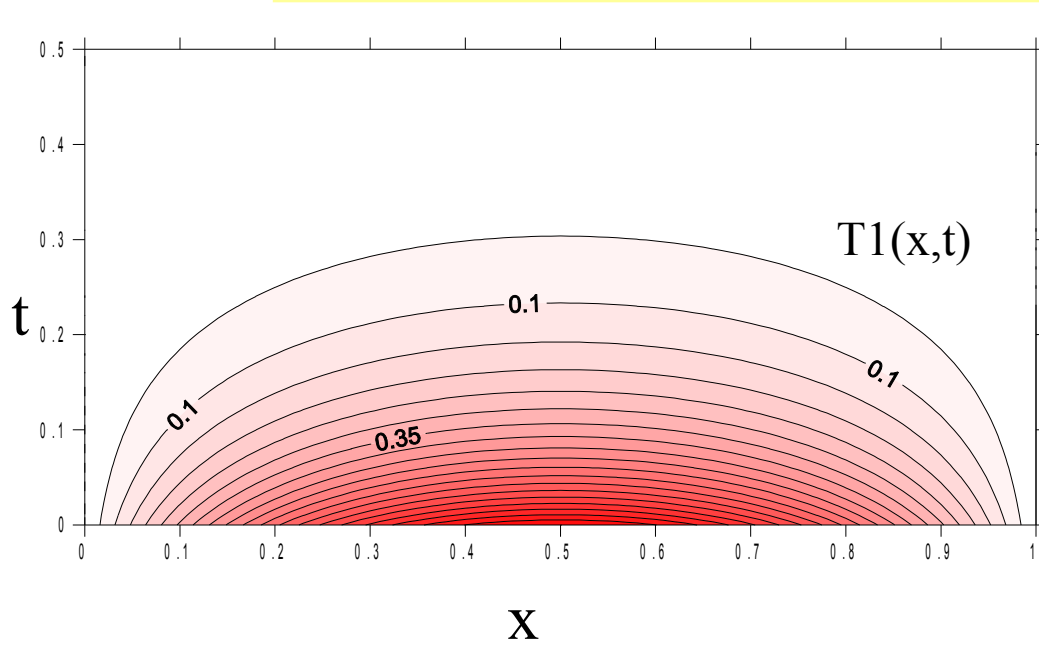
$= \sin(\pi x) + \sin(2\pi x)$ dla $x > 1/2$

$$T_2(x, t) = T_1(x, t) + \sum_{k=1}^{\infty} b_k \exp(-\alpha(k\pi)^2 t) \sin(k\pi x)$$

$$b_k = 2 \int_{1/2}^1 \sin(2\pi x) \sin(k\pi x) dx \longrightarrow$$

$$b_1 = -4/3\pi, b_2 = 1/2, b_k = 4\sin(\pi k/2)/\pi (k^2 - 4)$$

fizyczna domena zależności w równaniu dyfuzji ?

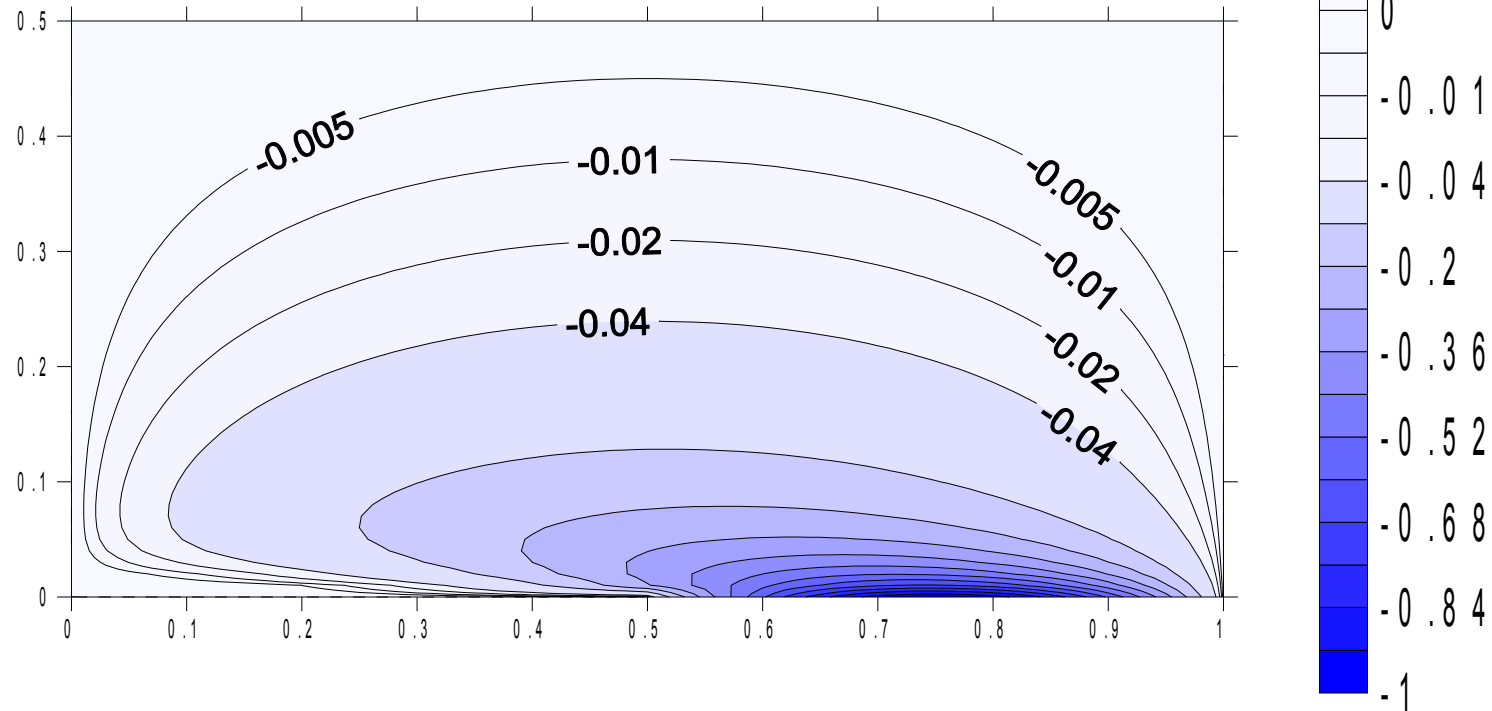


pytanie:
Po jakim czasie punkty
na lewo od $x=0.5$
poczują, że warunek początkowy
po prawej stronie pudła
jest inny?

inaczej: czy punkt $x=0.5, t=0$
należy do domeny zależności
punktu $x=0.1, t=dt$, gdzie dt -małe? ?

fizyczna domena zależności w równaniu dyfuzji ?

T2-T1



im bardziej zagęścimy poziomice
tym bliżej pojawią się osi $t=0$

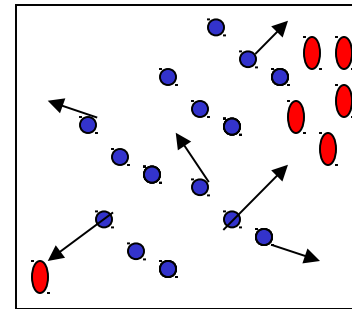
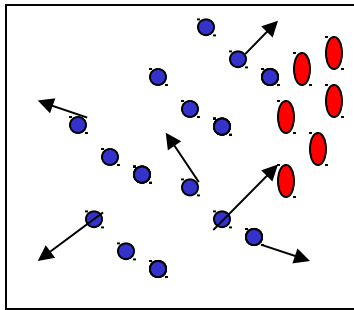
wniosek: w równaniu dyfuzji
pewien (niewielki) wpływ
na rozwiązanie w *każdym* punkcie np. $x=0.1$
ma warunek początkowy zadany dla
 $x > 1/2$. To co jest na prawej stronie
pudła na lewą przenosi się *natychmiast dla $t > 0$*

dla równania dyfuzji : fizyczna domena zależności punktu to cała połowa czasoprzestrzeni!

dla równania dyfuzji : fizyczna domena zależności punktu to cała połowa czasoprzestrzeni!
ilustracja

drobiny pyłu (czerwone kropki) w cieczy (cząstki H_2O – niebieskie kropki).

W chwili początkowej cały pył jest zlokalizowany w jednym z narożników.
Średnia koncentracja pyłu– opisywalna równaniem dyfuzji.
Ruch pojedynczej cząstki pyłu przypadkowy (ruchy Browna)



Istnieje małe lecz niezerowe prawdopodobieństwo, że jedna z drobin znajdzie się niemal natychmiast w przeciwległym narożniku w wyniku szczęśliwego zbiegu okoliczności (zostanie popchnięta kolejno przez wiele cząsteczek wody)

dla równania dyfuzji : fizyczna domena zależności punktu to cała połowa czasoprzestrzeni!

dla równania dyfuzji : fizyczna domena zależności punktu to cała połowa czasoprzestrzeni!

Ale, ale –

Mówiliśmy, że schemat Eulera jest stabilny (czyli musi być zbieżny [tw. Laxa])

Pamiętamy, że przeszłość numeryczna punktu w Eulerze jawnym to stożek (trójkąt 1D) a nie półpłaszczyzna?

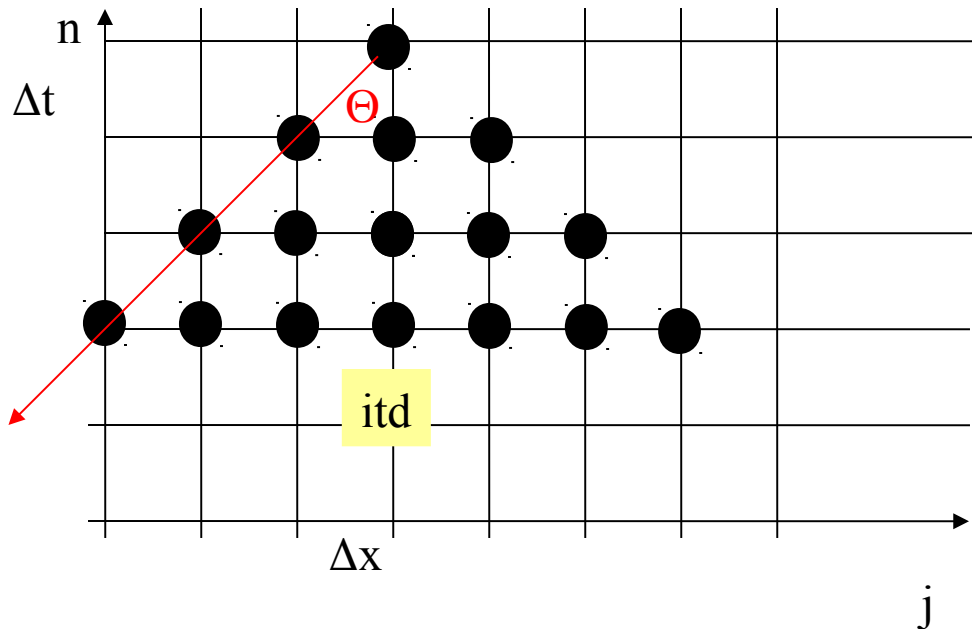
A warunek konieczny zbieżności CFL?

zgodnie z CFL WK zbieżności jest aby numeryczna domena zależności zawierała fizyczną numeryczną. domena zależności dla równania dyfuzji ze schematem Eulera ?

$$u_j^{n+1} = u_j^n + \frac{D\Delta t}{\Delta x^2} (u_{j+1}^n + u_{j-1}^n - 2u_j^n)$$

r

w.stab.Eulera $0 \leq r \leq 1/2$



przeszłość trójkąt o połowie kąta rozwarcia $\Theta = \arctan(\Delta x / \Delta t)$

trzymajmy $r = D\Delta t / \Delta x^2$ zafiksowane zmniejszając jednocześnie obydwa kroki $\Delta t, \Delta x$
 $\Theta = \arctan(D/r \Delta x)$ gdy $\Delta x \rightarrow 0$: kąt dąży do $\pi/2$ – obejmuje całą przeszłość
 CFL spełnione (WK), dla stabilności potrzeba jednak aby r nie było większe od $1/2$

Niejawny wsteczny schemat Eulera

metoda Eulera:
$$u_j^{n+1} = u_j^n + \frac{D\Delta t}{\Delta x^2} (u_{j+1}^n + u_{j-1}^n - 2u_j^n)$$

pochodna przestrzenna liczona w n -tym kroku czasowym
(gdy u znane)

... dla stabilności potrzeba jednak aby $r = D\Delta t / \Delta x^2 \leq 1/2$
Czytać: jako ograniczenie na krok czasowy

wsteczna metoda Eulera:

$$u_j^{n+1} = u_j^n + \frac{D\Delta t}{\Delta x^2} (u_{j+1}^{n+1} + u_{j-1}^{n+1} - 2u_j^{n+1})$$

pochodna przestrzenna liczona w $n+1$ -szym kroku czasowym
(gdy u jeszcze nieznanne).

Metoda niejawna, konieczne rozwiązanie
układu równań liniowych na $(n+1)$ krok czasowy.

$$-\gamma u_{j-1}^{n+1} + (1 + 2\gamma)u_j^{n+1} - \gamma u_{j+1}^{n+1} = u_j^n$$

$$r = \gamma = \frac{D\Delta t}{\Delta x^2}$$

$$\begin{pmatrix} (1+2\gamma) & -\gamma & 0 & 0 & 0 & \dots & 0 \\ -\gamma & (1+2\gamma) & -\gamma & 0 & 0 & \dots & 0 \\ 0 & -\gamma & (1+2\gamma) & -\gamma & 0 & \dots & 0 \\ & & & \dots & & & \\ 0 & \dots & 0 & 0 & -\gamma & (1+2\gamma) & -\gamma \\ 0 & \dots & 0 & 0 & 0 & -\gamma & (1+2\gamma) \end{pmatrix} \begin{pmatrix} u_1^{n+1} \\ u_2^{n+1} \\ u_3^{n+1} \\ \dots \\ u_{N-2}^{n+1} \\ u_{N-1}^{n+1} \end{pmatrix} = \begin{pmatrix} u_1^n \\ u_2^n \\ u_3^n \\ \dots \\ u_{N-2}^n \\ u_{N-1}^n \end{pmatrix}$$

Co z warunkami brzegowymi $u_0 = u_N = 0$?

$$\gamma = \frac{D\Delta t}{\Delta x^2}$$

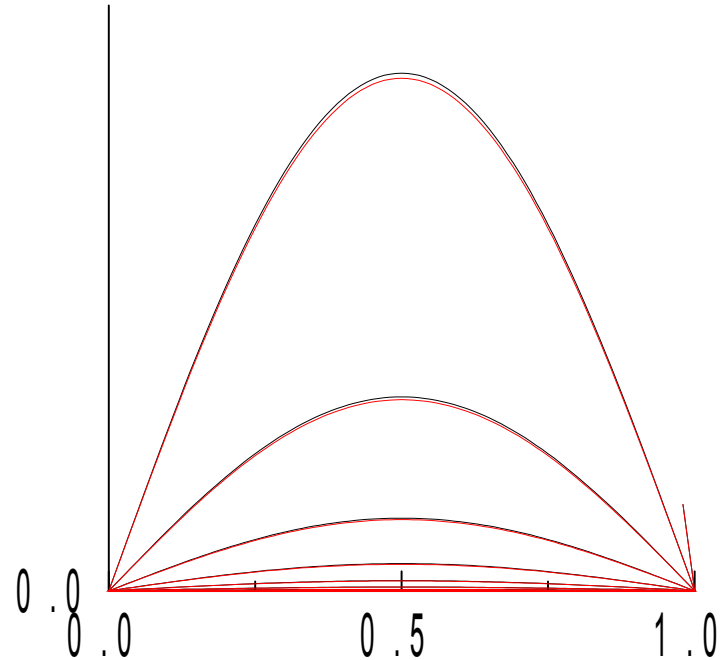
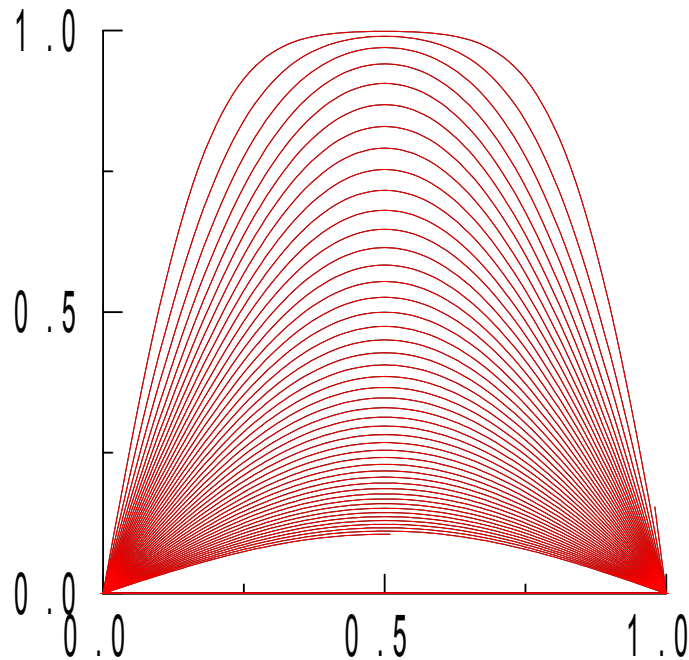
$$-\gamma u_{j-1}^{n+1} + (1+2\gamma)u_j^{n+1} - \gamma u_{j+1}^{n+1} = u_j^n$$

one są zapisane w pierwszym i ostatnim wierszu równania
- zobaczyć

Stabilność wstecznego schematu Eulera

$$\Delta t = \frac{\Delta x^2}{2D} \times \frac{2}{1.9}$$

$$\Delta t = \frac{\Delta x^2}{2D} \times 10$$



Czerwone dokładne
Czarne wsteczny Euler

Zachodzi podejrzenie, że wsteczny Euler jest stabilny dla dowolnego kroku czasowego - sprawdźmy

Stabilność wstecznego Eulera dla równania przewodnictwa cieplnego

$$-\gamma u_{j-1}^{n+1} + (1 + 2\gamma)u_{j-1}^{n+1} - \gamma u_{j+1}^{n+1} = u_j^n$$

$$r = \gamma = \frac{D\Delta t}{\Delta x^2}$$

analiza von Neumanna daje
kryterium stabilności:

$$\left| \frac{M_k}{[-\gamma \exp(-ik\Delta x) + (1 + 2\gamma) - \gamma \exp(ik\Delta x)]} \right| \leq 1$$

$$|-\gamma \exp(-ik\Delta x) + (1 + 2\gamma) - \gamma \exp(ik\Delta x)| \geq 1$$

Stabilność wstecznego Eulera dla równania przewodnictwa cieplnego

$$|-\gamma \exp(-ik\Delta x) + (1 + 2\gamma) - \gamma \exp(ik\Delta x)| \geq 1$$

$$|(1 + 2\gamma) - 2\gamma \cos(k\Delta x)| \geq 1$$

$$\underline{1 + 2\gamma(1 - \cos(k\Delta x)) \geq 1 \text{ lub } \leq -1}$$

To pierwsze zawsze prawdziwe

$$r = \gamma = \frac{D\Delta t}{\Delta x^2}$$

Wsteczny Euler = bezwarunkowo stabilny

Obydwa Eulery - pierwszy rząd dokładności czasowej [błąd dyskretyzacji rzędu pierwszego
błąd lokalny drugiego]

$$u_j^{n+1} = u_j^n + \frac{D\Delta t}{\Delta x^2} (u_{j+1}^n + u_{j-1}^n - 2u_j^n)$$

$$u_j^{n+1} = u_j^n + \frac{D\Delta t}{\Delta x^2} (u_{j+1}^{n+1} + u_{j-1}^{n+1} - 2u_j^{n+1})$$

Poprawić schemat
mieszając metody

Euler:
$$u_j^{n+1} = u_j^n + \frac{D\Delta t}{\Delta x^2} (u_{j+1}^n + u_{j-1}^n - 2u_j^n)$$

CN:

$$y(t + \Delta t) = y(t) + \frac{\Delta t}{2} (f(t) + f(t + \Delta t)) + O(\Delta t^3)$$

$$u_j^{n+1} = u_j^n + \frac{D\Delta t}{2\Delta x^2} (u_{j+1}^{n+1} + u_{j-1}^{n+1} - 2u_j^{n+1} + u_{j+1}^n + u_{j-1}^n - 2u_j^n)$$

Do układu równań:

$$r = \gamma = \frac{D\Delta t}{\Delta x^2}$$

$$-\frac{\gamma}{2}u_{j-1}^{n+1} + (1 + \gamma)u_j^{n+1} - \frac{\gamma}{2}u_{j+1}^{n+1} = \frac{\gamma}{2}u_{j-1}^n + (1 - \gamma)u_j^n + \frac{\gamma}{2}u_{j+1}^n$$

$$-\frac{\gamma}{2}u_{j-1}^{n+1} + (1 + \gamma)u_j^{n+1} - \frac{\gamma}{2}u_{j+1}^{n+1} = \frac{\gamma}{2}u_{j-1}^n + (1 - \gamma)u_j^n + \frac{\gamma}{2}u_{j+1}^n$$

$$\begin{pmatrix} (1 + \gamma) & -\gamma/2 & 0 & 0 & 0 & \dots & 0 \\ -\gamma/2 & (1 + \gamma) & -\gamma/2 & 0 & 0 & \dots & 0 \\ 0 & -\gamma/2 & (1 + \gamma) & -\gamma/2 & 0 & \dots & 0 \\ & & & \dots & & & \\ 0 & \dots & 0 & 0 & -\gamma/2 & (1 + \gamma) & -\gamma/2 \\ 0 & \dots & 0 & 0 & 0 & -\gamma/2 & (1 + \gamma) \end{pmatrix} \begin{pmatrix} u_1^{n+1} \\ u_2^{n+1} \\ u_3^{n+1} \\ \dots \\ u_{N-2}^{n+1} \\ u_{N-1}^{n+1} \end{pmatrix} =$$

$$\begin{pmatrix} (1 - \gamma) & \gamma/2 & 0 & 0 & 0 & \dots & 0 \\ \gamma/2 & (1 - \gamma) & \gamma/2 & 0 & 0 & \dots & 0 \\ 0 & \gamma/2 & (1 - \gamma) & \gamma/2 & 0 & \dots & 0 \\ & & & \dots & & & \\ 0 & \dots & 0 & 0 & \gamma/2 & (1 - \gamma) & \gamma/2 \\ 0 & \dots & 0 & 0 & 0 & \gamma/2 & (1 - \gamma) \end{pmatrix} \begin{pmatrix} u_1^n \\ u_2^n \\ u_3^n \\ \dots \\ u_{N-2}^n \\ u_{N-1}^n \end{pmatrix}$$

współczynnik przewodności zależny od położenia

$$\nabla \cdot (k \nabla T) + \dot{q} = \rho c \frac{\partial T}{\partial t}$$

źródło ciepła

gęstość i ciepło właściwe
zależne od położenia

Kilka własności równania



$$\nabla \cdot (k \nabla T) + \dot{q} = \rho c \frac{\partial T}{\partial t}$$

W jednym kawałku materiału ($k=const$), w stanie ustalonym

$$\nabla^2 T = -\frac{\dot{q}}{k} \longleftarrow \text{r. Poissona,}$$

stan ustalony w układzie jednorodnym w dwóch kierunkach y,z

$$\frac{\partial^2 T}{\partial x^2} + \cancel{\frac{\partial^2 T}{\partial y^2}} + \cancel{\frac{\partial^2 T}{\partial z^2}} = -\frac{\dot{q}}{k}$$

$$T = -\frac{\dot{q}}{2k} x^2 + Cx + D$$

C, D – z warunków brzegowych

1D + brak źródeł ciepła = T liniowe od brzegu do brzegu

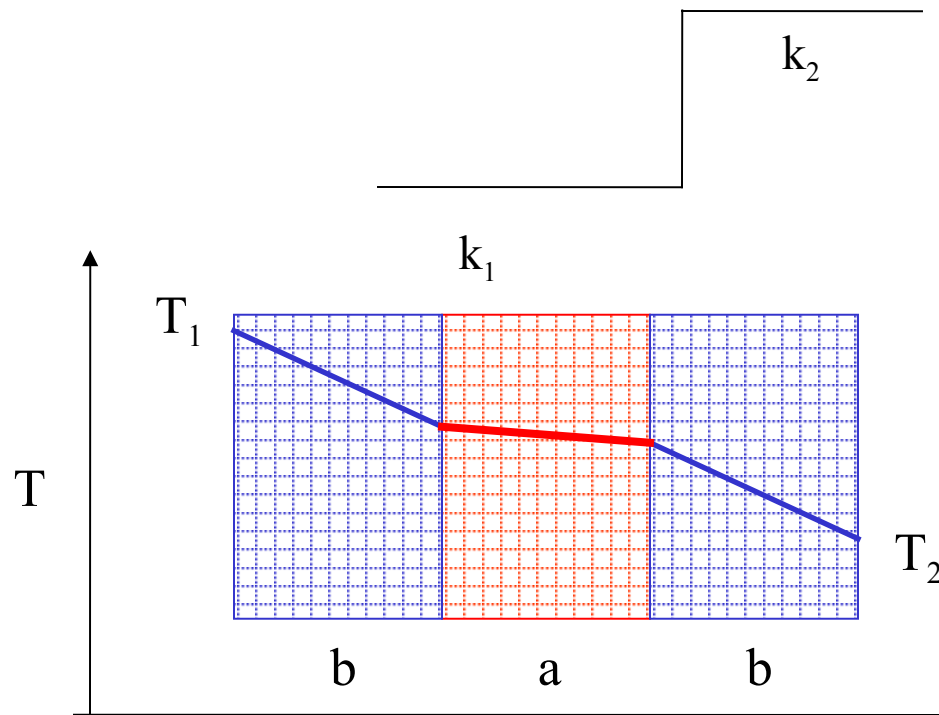
Warunki brzegowe na kontakcie 2 materiałów

$$\nabla \cdot (k \nabla T) + \dot{q} = \rho c \frac{\partial T}{\partial t}$$

w stanie ustalonym, różnice w gęstości i cieple właściwym nie mają znaczenia
ważny tylko k , w 1D:

$$\frac{dk}{dx} \frac{dT}{dx} + k(x) \frac{d^2T}{dx^2} = -\dot{q}$$

kontakt dwóch materiałów



Ciągłość q :

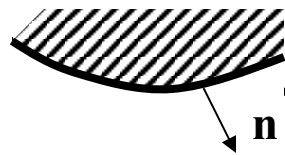
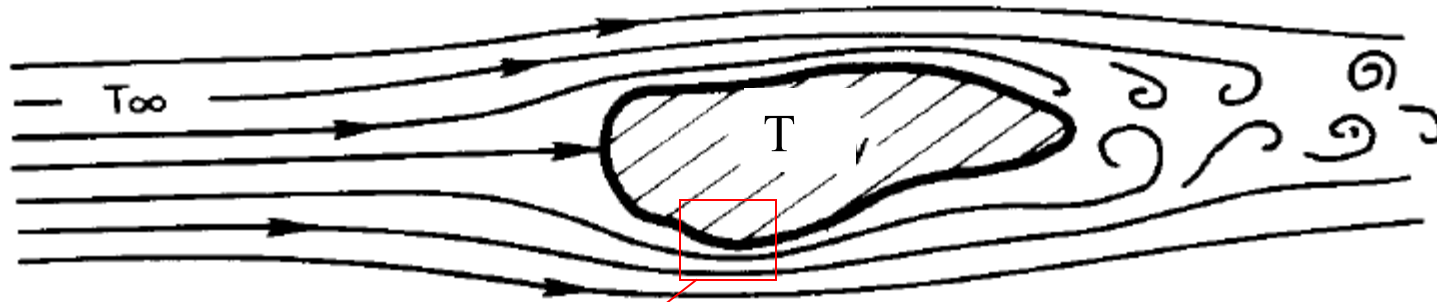
$$k_1 \frac{dT}{dx} = k_2 \frac{dT}{dx}$$

Z lewej

Z prawej

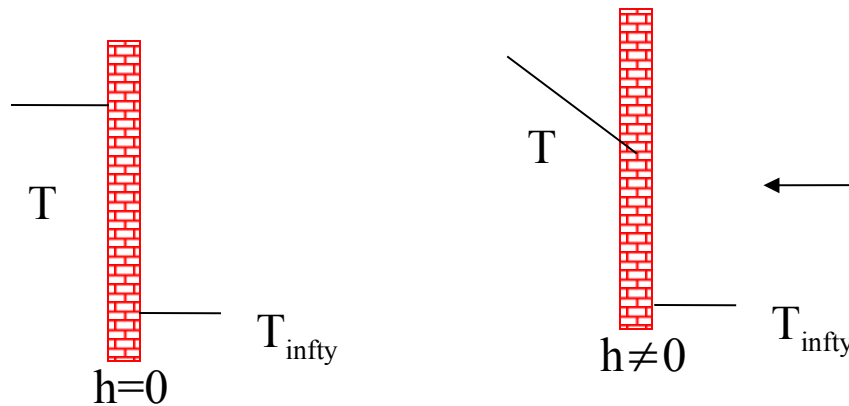
ogólnie: pochodne normalne
do powierzchni kontaktów

Konwekcyjne warunki brzegowe



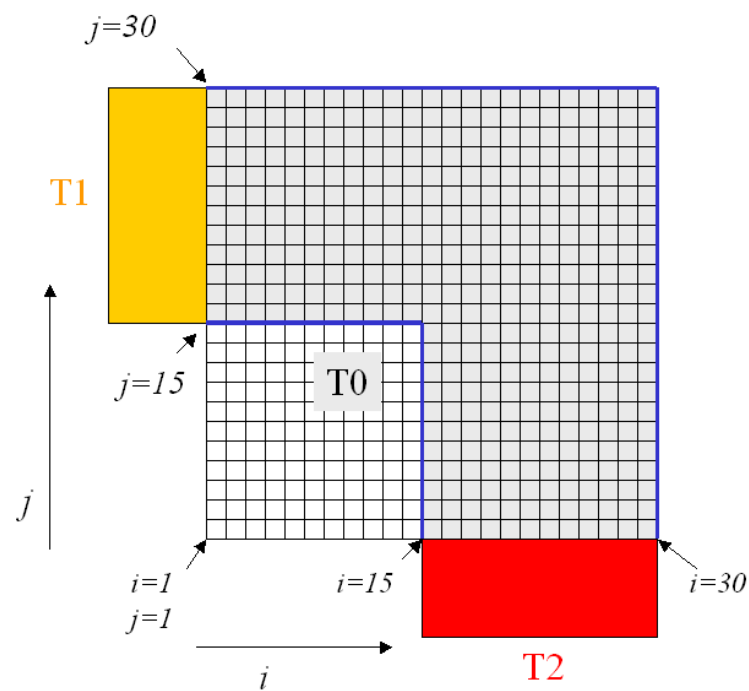
$q_{\text{konwekcji}} = q_{\text{przewodzenia na powierzchni}}$

$$h(T - T_{\infty}) = -k \frac{\partial T}{\partial n}$$



← latem może być na odwrót

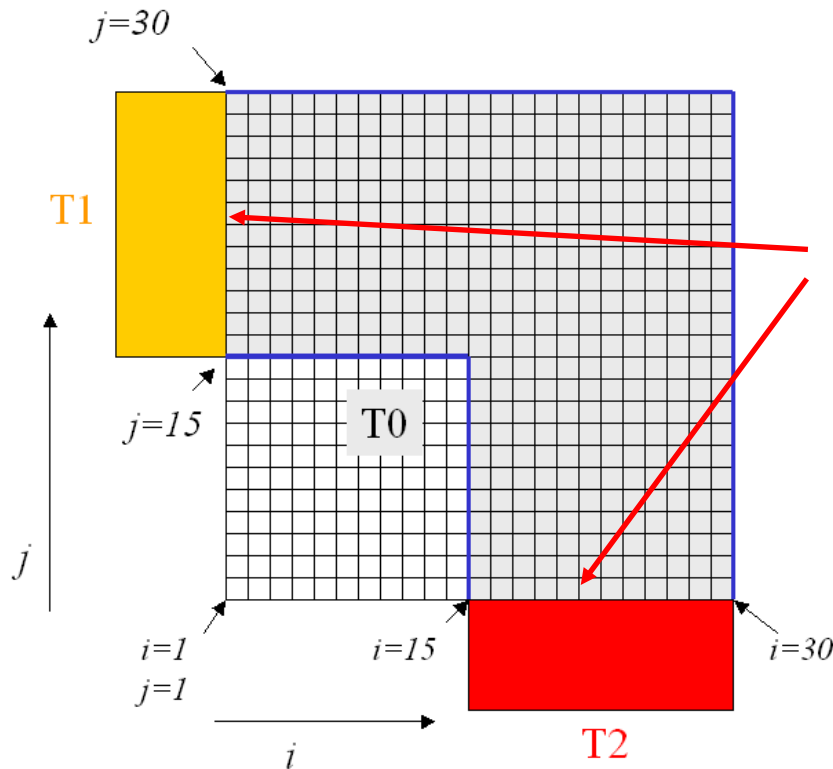
2D



$$\nabla \cdot (k \nabla T) + \dot{q} = \rho c \frac{\partial T}{\partial t} \quad \text{jeden materiał:} \quad \frac{\partial T}{\partial t} = \frac{\dot{q}}{\rho c} + \frac{k}{\rho c} \nabla^2 T$$

Cranck-Nicholson 2D: laplasjan rozpisany na n-ty i n+1 szy krok czasowy

$$T_{ij}^{n+1} = T_{ij}^n + \Delta t \frac{\dot{q}_{ij}^n}{\rho c} + \underbrace{\Delta t \frac{k}{2\rho c \Delta^2}}_{\gamma} (T_{i+1,j}^n + T_{i-1,j}^n - 2T_{ij}^n + T_{i,j+1}^n + T_{i,j-1}^n - 2T_{ij}^n + T_{i+1,j}^{n+1} + T_{i-1,j}^{n+1} - 2T_{ij}^{n+1} + T_{i,j+1}^{n+1} + T_{i,j-1}^{n+1} - 2T_{ij}^{n+1})$$



na ścianach wewnętrznych
budynku zadajemy $T=T_{bc}$

(podobnie dla „zmarowanej” ćwiartki
poza budynkiem)

$$\mathbf{AT}^{n+1}=\mathbf{BT}^n+\mathbf{c}$$

$$T_l = T_{bc}$$

w l tym wierszu A dajemy jedynkę na diagonalu, poza tym zera
cały l -ty wiersz B dajemy zero, a $b_l=T_{bc}$

Na krawędzi budynku
konwekcyjne wb.

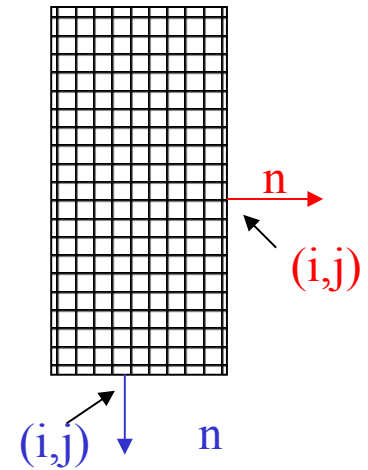
$$h(T - T_o) = -k \frac{\partial T}{\partial n}$$

(i,j) na prawej krawędzi:

$$h(T_{ij} - T_o) = -k \frac{T_{ij} - T_{i-1,j}}{\Delta x}$$

$$\left(h + \frac{k}{\Delta x}\right) T_{ij} - \frac{k}{\Delta x} T_{i-1,j} = hT_o$$

w l -tym wierszu A
tylko diagonalna
i poddiagonalna



T_{ij} wyliczane z tego równania zamiast WB

(i,j) dolna krawędź:

$$h(T_{ij} - T_o) = -k \frac{T_{ij} - T_{i,j+1}}{\Delta y}$$

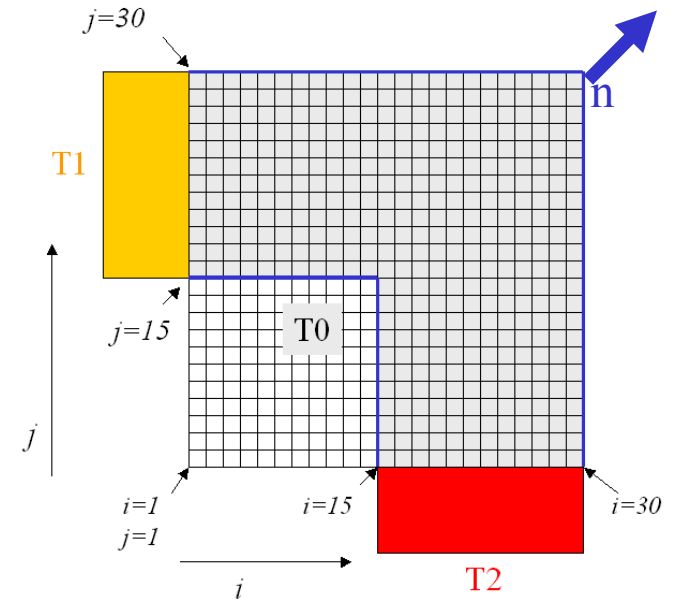
$$\left(h + \frac{k}{\Delta x}\right) T_{ij} - \frac{k}{\Delta x} T_{i,j+1} = hT_o$$

$$\frac{\partial T}{\partial n} = -\frac{\partial T}{\partial y}$$

konwekcyjny warunek brzegowy na narożnikach:

$$h(T - T_o) = -k \frac{\partial T}{\partial n}$$

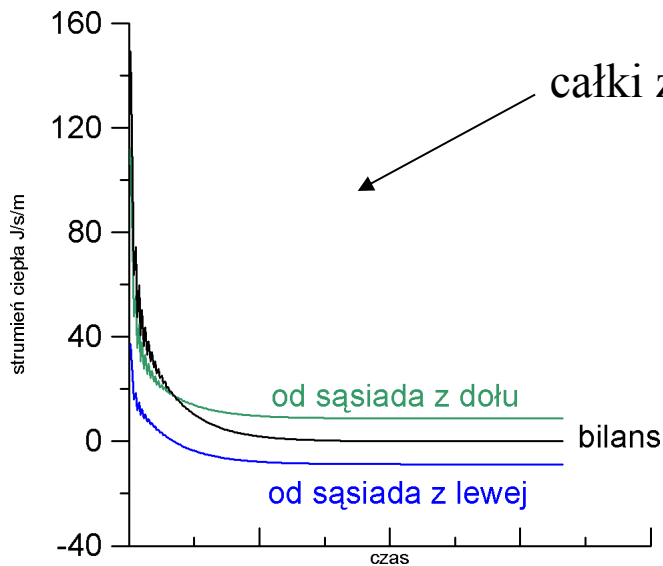
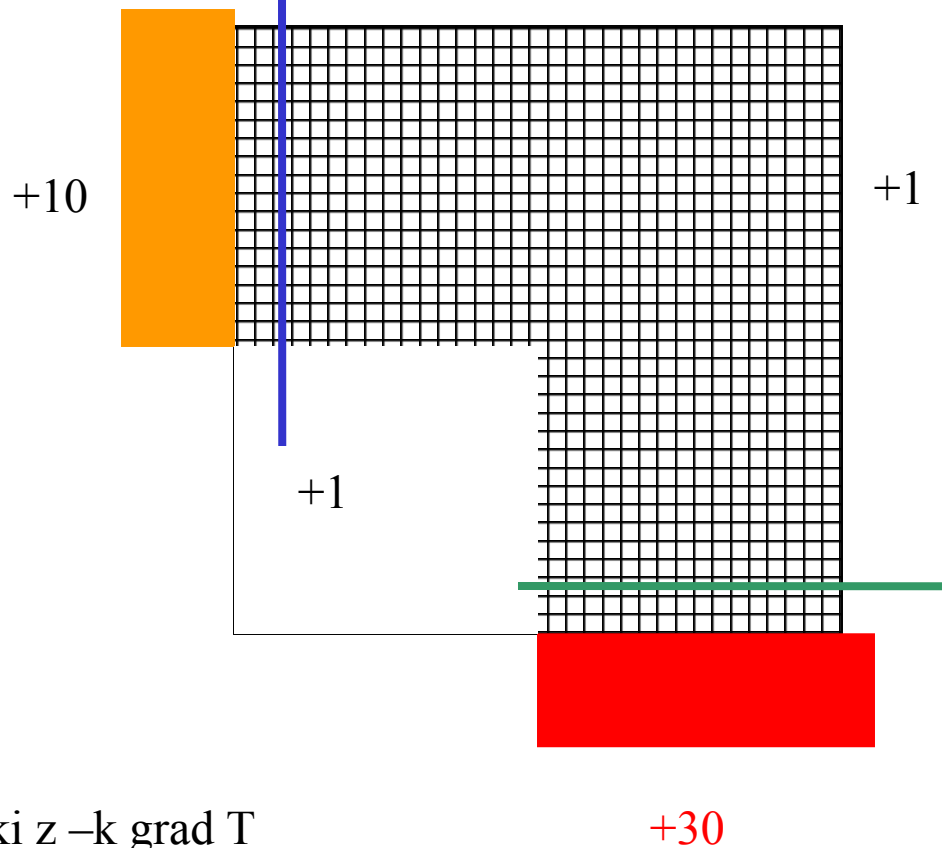
$$h(T_{ij} - T_o) = -k \frac{T_{ij} - T_{i-1,j-1}}{\sqrt{2}\Delta x}$$



1-szy rachunek
doskonale izolowane
ściany zewnętrzne:

w chwili początkowej
pomieszczenie w temp +1

Wstawić raz.gif



(musi wyjść na zero)
pomarańczowy najpierw oddaje ciepło
potem odbiera

2 rachunek

ściany zewnętrzne nie są idealnymi izolatorami:

dwa.gif

3. rachunek
okna $h=0.5$
ściany $h=0.01$

4 rachunek
grzejnik $q=10$

trzy.gif

cztery.gif

5 rachunek: 3 grzejniki z otwieraniem okien
i wyłączeniem ogrzewania

piec.gif

siedem.gif : $T_1=T_2=10$, $T_0=30$